

10. Есаян Ю. В., Акопов Р. В., Татевосян Н. Ц., Еганиян М. Ж. О влиянии подогрева на реверсивную запись на халькогенидных пленках  $As_2S_3$  // Письма в ЖТФ.— 1975.— Т. 1, вып. 5.
11. Туреница И. И., Семак Д. Г., Кикинешви А. А. Об оптимизации параметров халькогенидных слоев для оптической записи // Журн. научн. и приклад. фотогр. и кинематогр.— 1977.— № 22.
12. Андриеш А. М., Быковский Ю. А., Смирнов В. Л. и др. Фотоприемные элементы и дифракционные решетки рельефного типа в тонких пленках  $As_2S_3$  для интегральной оптики // Квантовая электрон.— 1978.— Т. 5, № 5.
13. Звонарева Т. К., Коломиец Б. Т., Любин В. М., Федоров В. А. Фотостимулированные изменения оптических свойств и запись оптической информации в стеклообразных пленках системы  $As - S$  // ЖТФ.— 1978.— Т. 48, № 5.
14. Коломиец Б. Т., Любин В. М., Шило В. П. Фотостимулированные изменения растворимости халькогенидных стекол // Физика и химия стекла.— 1978.— № 4.
15. Быковский Ю. А., Миронос А. В., Смирнов В. Л., Солдатов В. И. Использование селективности растворения пленок ХСП для формирования пассивных элементов интегральной оптики // Квантовая электрон.— 1985.— Т. 12, № 6.
16. Андриеш А. М., Быковский Ю. А., Бородакий Ю. В. и др. Формирование волноводных каналов в оптических волноводах на основе ХСП // Письма в ЖТФ.— 1984.— № 6.
17. Heitmann D., Pole R. V. Two-dimensional focusing holographic grating coupler // Appl. Phys. Lett.— 1980.— V. 37, N 7.— P. 585.
18. Бахвалов Н. С. Интерполяция и смежные вопросы // Численные методы.— М.: Наука, 1973.

*Поступила в редакцию 3 февраля 1987 г.*

УДК 772.99

Н. С. МЕРЗЛЯКОВ, Н. Р. ПОПОВА  
(Москва)

## НЕКОТОРЫЕ ОСОБЕННОСТИ ИСПОЛЬЗОВАНИЯ ДИСКРЕТНОГО ПРЕОБРАЗОВАНИЯ ФРЕНЕЛЯ ПРИ ЦИФРОВОМ ВОССТАНОВЛЕНИИ ГОЛОГРАММ

В акустической, сейсмической и радиоголографии в настоящее время широко используется цифровое восстановление голограмм, основанное на использовании алгоритма быстрого преобразования Фурье. Однако в ряде случаев, когда расстояние до объекта сравнимо с размерами объекта и голограммы, при этом объект находится в ближней зоне дифракции, приближение Фурье или Френеля в общем виде не выполняется. Поэтому весьма актуальным становится вопрос о границах применимости дискретного преобразования Фурье и Френеля (ДПФ и ДПФр) при восстановлении голограмм с помощью ЭВМ.

Как правило, при цифровом восстановлении голограмм решается дифракционная задача нахождения поля  $g(x, y, z)$  изображения по полю  $f(\xi, \eta, 0)$ , зарегистрированному на голограмме. Функции  $f(\xi, \eta, 0)$  и  $g(x, y, z)$  связаны соотношением [1]

$$g(x, y, z) = A \int_{-\infty}^{\infty} \int_{-\infty}^{\infty} f(\xi, \eta, 0) \exp\{ik\rho\} d\xi d\eta, \quad (1)$$

где  $k = 2\pi/\lambda$  — волновое число;  $\lambda$  — длина волны, на которой записана и восстановлена голограмма;  $\rho = \sqrt{(x - \xi)^2 + (y - \eta)^2 + z^2}$  — радиус-вектор.

В зависимости от используемых членов разложения радиуса-вектора для параксиального приближения получим формулы преобразования Фурье

$$g(x, y, z) = A \int_{-\infty}^{+\infty} \int_{-\infty}^{+\infty} f(\xi, \eta, 0) \exp\left\{-i \frac{k}{z} (x\xi + y\eta)\right\} d\xi d\eta \quad (2)$$

и Френеля

$$g(x, y, z) = A \int_{-\infty}^{+\infty} \int_{-\infty}^{+\infty} f(\xi, \eta, 0) \exp \left\{ -i \frac{k}{2z} [(x - \xi)^2 + (y - \eta)^2] \right\} d\xi d\eta. \quad (3)$$

В оптике принято, что приближение Фурье (2) справедливо при условии, если фазовая ошибка  $\pi\psi_1$ , вызванная неучтеными членами разложения  $\rho$ , меньше  $\pi/100$ , т. е.

$$\pi\psi_1 = \frac{\pi}{\lambda z} [x^2 + y^2 + \xi^2 + \eta^2] \leq \pi/100. \quad (4a)$$

Аналогично приближение Френеля справедливо при фазовой ошибке

$$\pi\psi_2 = \frac{\pi}{\lambda z^3} \left[ \frac{(x - \xi)^4}{4} + \frac{(y - \eta)^4}{4} \right] \leq \pi/100. \quad (4b)$$

В случае восстановления голограмм, где главной задачей является получение изображения, описываемого интенсивностью поля  $g(x, y, z)$ , требования, предъявляемые к фазовым ошибкам, можно резко снизить, а именно: во-первых, отбросить компоненты в выражениях (4a), (4b), влияющие только на фазовые коэффициенты поля  $g(x, y, z)$ , и, во-вторых, что особенно важно, пересмотреть требования, предъявляемые к значению допустимой фазовой ошибки.

Как известно, величина  $\pi/100$  выбрана эмпирически. Считается, что такая флуктуация фазы не приводит к видимому нарушению волнового фронта. В задачах, где представляет интерес не собственно волновой фронт, а его интенсивность, можно пользоваться общепринятым в теории связи условием узкополосности сигнала, по которому допустим временной сдвиг порядка  $\pi/\omega_0$  (где  $\omega_0$  — несущая частота), не приводящий к существенному изменению сигнала [2]. Временному сдвигу  $\tau = \pi/\omega_0$  соответствует фазовая ошибка  $\omega_0\tau = \pi$ . Будем считать, что выбранное приближение Фурье или Френеля справедливо при допустимой фазовой ошибке  $\pi$ , тогда выражения (4a) и (4b) с учетом сделанных предположений примут вид

$$\pi\psi_1 = \frac{\pi}{\lambda z} (\xi^2 + \eta^2) \leq \pi; \quad (5a)$$

$$\pi\psi_2 = \frac{\pi}{4\lambda z^3} \left[ \xi^4 \left( 1 - 4 \frac{x}{\xi} + 6 \frac{x^2}{\xi^2} - 4 \frac{x^3}{\xi^3} \right) + \eta^4 \left( 1 - 4 \frac{y}{\eta} + 6 \frac{y^2}{\eta^2} - 4 \frac{y^3}{\eta^3} \right) \right]. \quad (5b)$$

В дальнейшем перейдем для простоты к одномерному случаю описания поля голограммы  $f(\xi, 0)$  и поля изображения  $g(x, y)$ . Рассмотрим дискретное представление преобразований Фурье и Френеля, которые используются при цифровом восстановлении голограмм [2].

Пусть размеры голограммы  $2L_{\text{гол}}$ , шаг дискретизации на голограмме  $\Delta$ , на восстановленном изображении  $b$  и соответственно полное количество отсчетов  $N = 2L_{\text{гол}}/\Delta$ . Тогда дискретное преобразование Фурье с точностью до фазового множителя есть

$$g(\delta m) = A \sum_{n=-N/2}^{(N/2)-1} f(\Delta n) \exp \left\{ -i \frac{2\pi}{N} mn \right\} \quad (6a)$$

и дискретное преобразование Френеля

$$g(\delta m) = A \sum_{n=-N/2}^{(N/2)-1} f(\Delta n) \exp \left\{ -i 2\pi \left[ -\alpha \frac{n^2}{2} + \frac{mn}{N} \right] \right\}, \quad (6b)$$

где

$$\alpha = \Delta^2/\lambda z \quad (7)$$

— параметр преобразования Френеля.

Таблица 1

$N$	32	64	128	256	512	1024
$\alpha$	$3,9 \cdot 10^{-3}$	$9,7 \cdot 10^{-4}$	$2,4 \cdot 10^{-4}$	$6,1 \cdot 10^{-5}$	$1,5 \cdot 10^{-5}$	$3,8 \cdot 10^{-6}$

Обозначив размер восстановленного изображения через  $2L_{\text{об}}$ , подставив в (5а) и (5б) максимальные значения  $\xi$  и  $x$ , равные  $L_{\text{гол}}$  и  $L_{\text{об}}$  соответственно, и считая, что коэффициент увеличения изображения равен 1, получим следующие оценки максимально допустимых фазовых искажений, при которых можно использовать ДПФ (6а) или ДПФр (6б):

$$\max \{\pi \psi_1\} = \frac{\pi}{\lambda z} \frac{\Delta^2 N^2}{4} = \pi \alpha \frac{N^2}{4} \leqslant \pi; \quad (8\text{a})$$

$$\max \{\pi \psi_2\} = \frac{\pi}{4 \lambda z^3} L_{\text{гол}}^4 \left[ 1 + 4 \frac{L_{\text{об}}}{L_{\text{гол}}} + 6 \left( \frac{L_{\text{об}}}{L_{\text{гол}}} \right)^2 + 4 \left( \frac{L_{\text{об}}}{L_{\text{гол}}} \right)^3 \right] = \frac{\pi L_{\text{гол}}^4}{4 \lambda z^3} Q \left( \frac{L_{\text{об}}}{L_{\text{гол}}} \right) \leqslant \pi, \quad (8\text{б})$$

$$\text{где } Q \left( \frac{L_{\text{об}}}{L_{\text{гол}}} \right) = 1 + 4 \frac{L_{\text{об}}}{L_{\text{гол}}} + 6 \left( \frac{L_{\text{об}}}{L_{\text{гол}}} \right)^2 + 4 \left( \frac{L_{\text{об}}}{L_{\text{гол}}} \right)^3. \quad (8\text{в})$$

Из (8а) следует, что при

$$\alpha < 4/N^2 \quad (9)$$

вместо дискретного преобразования Френеля можно использовать дискретное преобразование Фурье. В табл. 1 приведены значения  $\alpha$  в зависимости от количества отсчетов на голограмме по формуле (9).

Использование этой таблицы дает возможность определить границы применимости ДПФ для восстановления голограммы, введенной в ЭВМ, в зависимости от двух параметров: количества отсчетов  $N$  и параметра  $\alpha$ , заданного формулой (7), в которой  $\lambda$  и  $z$  определяются условиями эксперимента, а  $\Delta$  задает связь между реальной физической голограммой и массивом чисел, введенных в машину:  $\Delta = 2L_{\text{гол}}/N$ .

Оценим теперь фазовую ошибку при переходе из зоны Френеля в ближнюю зону, которая особенно важна в случае восстановления акустических голограмм, где размеры объекта, голограммы и расстояния между ними, как правило, сравнимы между собой. При определении максимального значения  $\psi_2$  удобно выделить множитель  $Q(L_{\text{об}}/L_{\text{гол}})$  (см. формулу (8в)). В табл. 2 приведены значения  $Q$  для наиболее часто встречающихся соотношений между размерами объекта и голограммы.

Учитывая данные табл. 2, легко получить значения максимальной фазовой ошибки  $\psi_2$ , возникающей при использовании дискретного преобразования Френеля для восстановления изображений с голограммы, записанной в ближней зоне. В табл. 3 приведены значения для некоторых наиболее характерных размеров голограммы и объекта, заданных в длинах волн, при условии, что расстояние до объекта равно линейному размеру голограммы  $z = 2L_{\text{гол}}$ .

Таблица 2

$L_{\text{об}}/L_{\text{гол}}$	0,0625	0,125	0,25	0,5	1	2
$Q$	1,3	1,6	2,5	4	15	65

Таблица 3

$2L_{\text{гол}}$	$50\lambda$	$50\lambda$	$50\lambda$	$100\lambda$	$100\lambda$	$100\lambda$
$L_{\text{об}}/L_{\text{гол}}$	1	0,5	0,25	1	0,5	0,25
$\pi \psi_2$	$12\pi$	$3\pi$	$0,2\pi$	$24\pi$	$6\pi$	$0,4\pi$

Таблица 4

$L_{\text{гол}} = 50\lambda$							
$L_{\text{об}}/L_{\text{гол}}$	1			0,5			
	$N$	64	128	256	64	128	256
$\alpha$		$5,4 \cdot 10^{-3}$	$1,35 \cdot 10^{-3}$	$3,4 \cdot 10^{-4}$	$8,2 \cdot 10^{-3}$	$2 \cdot 10^{-3}$	$5 \cdot 10^{-4}$
$L_{\text{гол}} = 100\lambda$							
$L_{\text{об}}/L_{\text{гол}}$	0,5			1			
	$N$	128	256	512	128	256	512
$\alpha$		$3,3 \cdot 10^{-3}$	$8,2 \cdot 10^{-4}$	$2,0 \cdot 10^{-4}$	$8,2 \cdot 10^{-3}$	$2 \cdot 10^{-3}$	$0,5 \cdot 10^{-3}$

Из табл. 3 следует, что чем меньше размер приемной апертуры голограммы, тем меньше получаемая фазовая ошибка. Этим объясняется тот факт, что на ЭВМ можно восстанавливать голограммы, записанные в ближней зоне, используя ДПФр. Пользуясь выражением (8б), получим значения  $\alpha$ , при которых  $\psi_2 = 1$ , т. е. фазовая ошибка не превышает  $\pi$ :

$$\alpha^3 \leq \frac{(2L_{\text{гол}})^2/\lambda^2}{\left(\frac{N}{2}\right)^6 Q \left(\frac{L_{\text{об}}}{L_{\text{гол}}}\right)}. \quad (10)$$

В табл. 4 приведены максимально допустимые значения  $\alpha$  для размеров голограммы  $50\lambda$  и  $100\lambda$  соответственно в зависимости от  $L_{\text{об}}/L_{\text{гол}}$  и  $N$ , при которых ДПФр дает фазовую ошибку порядка  $\pi$ .

Сравнивая теперь табл. 1 и 4, можно получить границы задания параметра ДПФр  $\alpha$ . Заметим, что при  $\alpha < \alpha_{\min}$  преобразование Френеля остается справедливым, однако быстрее и удобнее пользоваться преобразованием Фурье. В табл. 5 в качестве примера приведены граничные значения  $\alpha_{\min}$  и  $\alpha_{\max}$  в зависимости от количества отсчетов  $N$  и соотношения  $L_{\text{об}}/L_{\text{гол}}$  для случая, когда размер голограммы равен  $50\lambda$ .

Ниже приводятся экспериментальные результаты цифрового восстановления малоапertureных ультразвуковых голограмм для случая, когда регистрируемый объект находится в ближней зоне.

Запись ультразвуковой голограммы [3] проводилась в баке с водой размером  $1 \times 1 \times 1$  м<sup>3</sup>. Объекты в виде буквенных символов, изготовленные из листового алюминия толщиной 1 см, помещались на расстоянии 60 см от границы водной поверхности, а сферический источник ультразвукового излучения располагался вблизи нее. Использовался радиоимпульсный режим облучения с частотой заполнения 150 кГц ( $\lambda = 1$  см), размеры объектов  $12\lambda$ ,  $22\lambda$  с минимальными размерами деталей  $2\lambda$ ,  $4\lambda$ .

Регистрация отраженного объектом излучения осуществлялась при синтезе квадратной апертуры размером  $45 \times 45\lambda$  за счет механического сканирования 31-элементной приемной линейной антенны. Плоская опорная волна под углом  $19,5^\circ$  по отношению к нормали линейной антенны имитировалась в электронном тракте. Накопление информации осуществлялось в

Таблица 5

$N$	64		128		256	
	$\alpha_{\min}$	$9,7 \cdot 10^{-4}$	$\alpha_{\max}$	$2,4 \cdot 10^{-4}$	$\alpha_{\min}$	$6,1 \cdot 10^{-5}$
$L_{\text{об}}/L_{\text{гол}}$	1	0,5	1	0,5	1	0,5
$\alpha_{\max}$	$5,4 \cdot 10^{-3}$	$8,2 \cdot 10^{-3}$	$1,35 \cdot 10^{-3}$	$2 \cdot 10^{-3}$	$3,4 \cdot 10^{-4}$	$5 \cdot 10^{-4}$

ствлялось в блоке памяти, основу которого составляла запоминающая ЭЛТ. Зарегистрированная голограмма размером  $30 \times 30$  мм<sup>2</sup> выводилась на экран телевизионного монитора и фотографировалась для получения оптического транспаранта. Были получены транспаранты размером 0,5—0,6 мм для оптического восстановления и размером 8 мм для ввода в ЭВМ. Подчеркнем, что отсутствие непосредственного ввода информации в машину снижает качество голограмм, восстановленных на ЭВМ, так как появляется два дополнительных фактора, вносящих искажение: фотоопроцесс при изготовлении транспаранта и ввод голограммы в ЭВМ.

Параметр  $\alpha$  голограммы, введенной в ЭВМ, равен  $\sim 4 \cdot 10^{-4}$ , что согласно табл. 4 или 5 удовлетворяет условию применимости ДПФр для восстановления голограммы, фазовая ошибка при этом не превышает  $0,2\pi$  (см. табл. 3). Поэтому далее используется комплекс программ, основанный на ДПФр, состоящий из трех основных этапов: 1) предварительная коррекция и компоновка голограммы; 2) дискретное преобразование Френеля, реализующее собственно процесс восстановления; 3) последующая обработка восстановленного изображения, улучшающая его качество [4, 5].

На рис. 1 представлена блок-схема цифрового восстановления голограммы. К первому этапу относятся блоки 1—3. Ввод слайда (блок 1) осуществляется с помощью микроденситометра барабанного типа, изображение квантуется на 256 уровней яркости в диапазоне оптической плоскости 0—3D, апертура и растр ввода равен 25 мкм. Массив введенной голограммы составляет  $300 \times 300$  элементов. В блоке 2 производится геометрическое формирование голограммы, дополнение нулями, перестановка или мультиплексия отдельных ее частей. В блоке 3 проводится предварительная коррекция голограммы с учетом условий записи и ввода амплитудной и фазовой информации поля.

Второй этап, выполняемый в блоках 4, 5, состоит из двумерного ДПФр с предварительным поиском  $\alpha$ . При определении параметра преобразования  $\alpha$ , как правило, используется априорная информация, если же расстояние от объекта до голограммы не удается точно измерить в процессе записи голограммы, параметр  $\alpha$  уточняется с помощью последовательных одномерных преобразований Френеля вдоль строки, соответствующих фокусировке изображения в оптической системе.

Третий этап — обработка восстановленного изображения — проводится в блоках 6, 7, вывод откорректированного изображения осуществляется в блоке 8. Как показано в работе [3], для улучшения качества восстановленного изображения удобно использовать амплитудную коррекцию, сглаживание и усреднение по множеству изображений, восстановленных с однотипными голограммами. В случае малоапertureной голограммы наилучший результат дала амплитудная коррекция. Предварительно строится гистограмма по фрагменту, содержащему интересующую информацию,



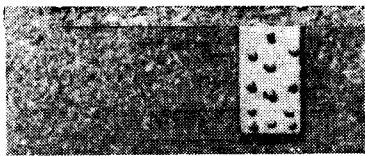


Рис. 2



Рис. 3



Рис. 4



Рис. 5

и далее коррекция осуществляется в зависимости от положения границ гистограммы.

Для контроля проводится оптическое восстановление голограммы и результат, полученный оптически, сравнивается с результатом цифрового восстановления. На рис. 2 представлен голографируемый объект — макет буквы «Ч», на рис. 3 — его голограмма. Изображение, восстановленное оптически, показано на рис. 4, и результат цифрового восстановления представлен на рис. 5. Как следует из сравнения рис. 4 и 5, качество восстановленного изображения в обоих случаях примерно одинаково, что еще раз подтверждает возможность использования ДПФ для малояпертурных голограмм, записанных в ближней зоне.

#### ЛИТЕРАТУРА

1. Борн М., Вольф Э. Основы оптики.— М.: Наука, 1973.
2. Ярославский Л. П. Введение в цифровую обработку изображений.— М.: Сов. радио, 1979.
3. Зуевич А. В., Алексеенко В. В., Сучак В. М. Получение изображений подземных объектов методами звуковой голограммии // Письма в ЖТФ.— 1980.— Т. 6, вып. 13.
4. Попова Н. Р., Свет В. Д. Акустические голограммы и цифровые методы восстановления изображений // Иконика.— М.: Наука, 1985.
5. Мерзляков Н. С., Попова Н. Р., Ярославский Л. П. Цифровое восстановление акустических голограмм Френеля // Тез. докл. 5-й Всесоюз. конф. по голограммии.— Рига: ИФ АН ЛССР, 1985.

Поступила в редакцию 26 мая 1986 г.